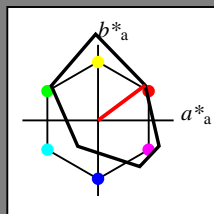


Eingabe: Farbmetrisches Drucker-Reflektiv-System FRS06

für Buntton $h^* = lab^*h = 37/360 = 0.102$
 lab^*ich und lab^*nch

D65: Buntton R
LCH*Ma: 33 78 37
olv*Ma: 1.0 0.0 0.0

Dreiecks-Helligkeit t^*



%Umfang
 $u^*_{rel} = 115$
%Regularität
 $g^*_{H,rel} = 28$
 $g^*_{C,rel} = 38$

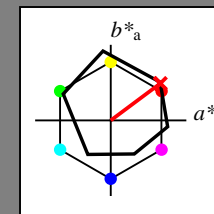
FRS06; adaptierte CIELAB-Daten					
	$L^*=L^*_a$	a^*_a	b^*_a	$C^*_{ab,a}$	$h^*_{ab,a}$
RMa	32.57	62.32	46.49	77.75	37
JMa	82.73	-3.16	113.99	114.03	92
GMa	39.43	-61.79	45.84	76.95	143
G50BMa	47.86	-26.79	-34.24	43.49	232
BMa	10.16	55.12	-61.03	82.24	312
B50RMa	34.5	80.68	-33.92	87.52	337
NMa	6.25	0.0	0.0	0.0	0
WMa	91.97	0.0	0.0	0.0	0
RCIE	39.92	59.8	31.05	67.38	27
JCIE	81.26	-2.52	76.25	76.29	92
GCIE	52.23	-41.56	17.14	44.96	158
BCIE	30.57	2.63	-43.77	43.86	273

Ausgabe: Farbmetrisches Offset-Reflektiv-System ORS18

für Buntton $h^* = lab^*h = 37/360 = 0.102$
 lab^*ich und lab^*nch

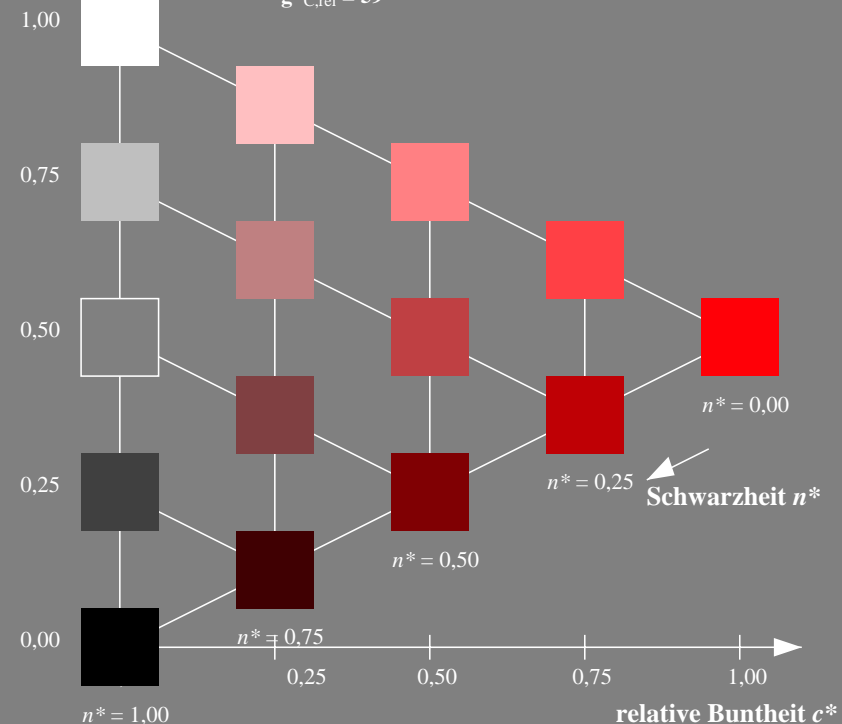
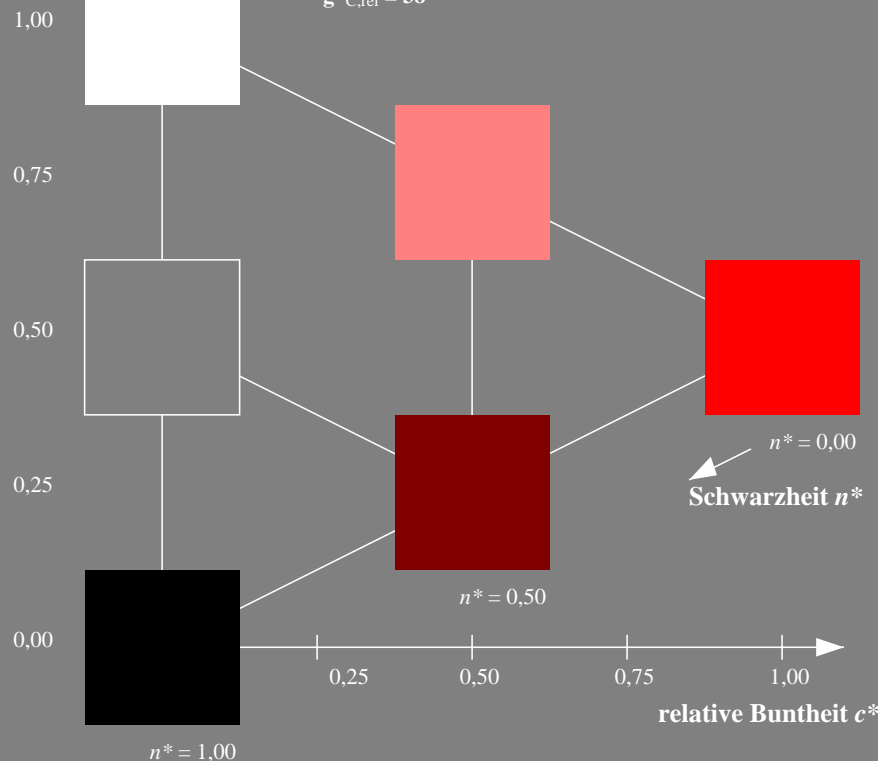
D65: Buntton O
LCH*Ma: 48 82 37
olv*Ma: 1.0 0.0 0.03

Dreiecks-Helligkeit t^*



%Umfang
 $u^*_{rel} = 93$
%Regularität
 $g^*_{H,rel} = 57$
 $g^*_{C,rel} = 59$

ORS18; adaptierte CIELAB-Daten					
	$L^*=L^*_a$	a^*_a	b^*_a	$C^*_{ab,a}$	$h^*_{ab,a}$
OMa	47.94	65.39	50.52	82.63	38
YMa	90.37	-10.26	91.75	92.32	96
LMa	50.9	-62.83	34.96	71.91	151
CMa	58.62	-30.34	-45.01	54.3	236
VMa	25.72	31.1	-44.4	54.22	305
MMa	48.13	75.28	-8.36	75.74	354
NMa	18.01	0.0	0.0	0.0	0
WMa	95.41	0.0	0.0	0.0	0
RCIE	39.92	58.66	26.98	64.57	25
JCIE	81.26	-2.16	67.76	67.79	92
GCIE	52.23	-42.25	11.76	43.87	164
BCIE	30.57	1.15	-46.84	46.86	271



VG460-7, 3stufige Reihen für konstanten CIELAB Buntton 37/360 = 0.102 (links)

5stufige Reihen für konstanten CIELAB Buntton 37/360 = 0.102 (rechts)

BAM-Prüfvorlage VG46; Farbmetrik-Systeme CNS18 & ORS18input: olv* setrgbcolor
D65: 3 und 5stufige Farbreihen für 10 Bunttöne

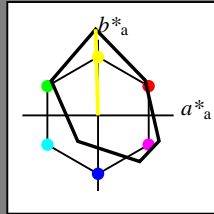
output: no change compared to input

Eingabe: Farbmetrisches Drucker-Reflektiv-System FRS06

für Buntton $h^* = lab^*h = 92/360 = 0.254$
 lab^*ich und lab^*nch

D65: Buntton J
LCH*Ma: 83 114 92
olv*Ma: 1.0 1.0 0.0

Dreiecks-Helligkeit t^*



%Umfang
 $u^*_{rel} = 115$
%Regularität
 $g^*_{H,rel} = 28$
 $g^*_{C,rel} = 38$

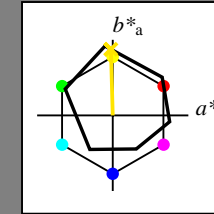
FRS06; adaptierte CIELAB-Daten					
	$L^*=L^*_a$	a^*_a	b^*_a	$C^*_{ab,a}$	$h^*_{ab,a}$
RMa	32.57	62.32	46.49	77.75	37
JMa	82.73	-3.16	113.99	114.03	92
GMa	39.43	-61.79	45.84	76.95	143
G50BMa	47.86	-26.79	-34.24	43.49	232
BMa	10.16	55.12	-61.03	82.24	312
B50RMa	34.5	80.68	-33.92	87.52	337
NMa	6.25	0.0	0.0	0.0	0
WMa	91.97	0.0	0.0	0.0	0
RCIE	39.92	59.8	31.05	67.38	27
JCIE	81.26	-2.52	76.25	76.29	92
GCIE	52.23	-41.56	17.14	44.96	158
BCIE	30.57	2.63	-43.77	43.86	273

Ausgabe: Farbmetrisches Offset-Reflektiv-System ORS18

für Buntton $h^* = lab^*h = 92/360 = 0.254$
 lab^*ich und lab^*nch

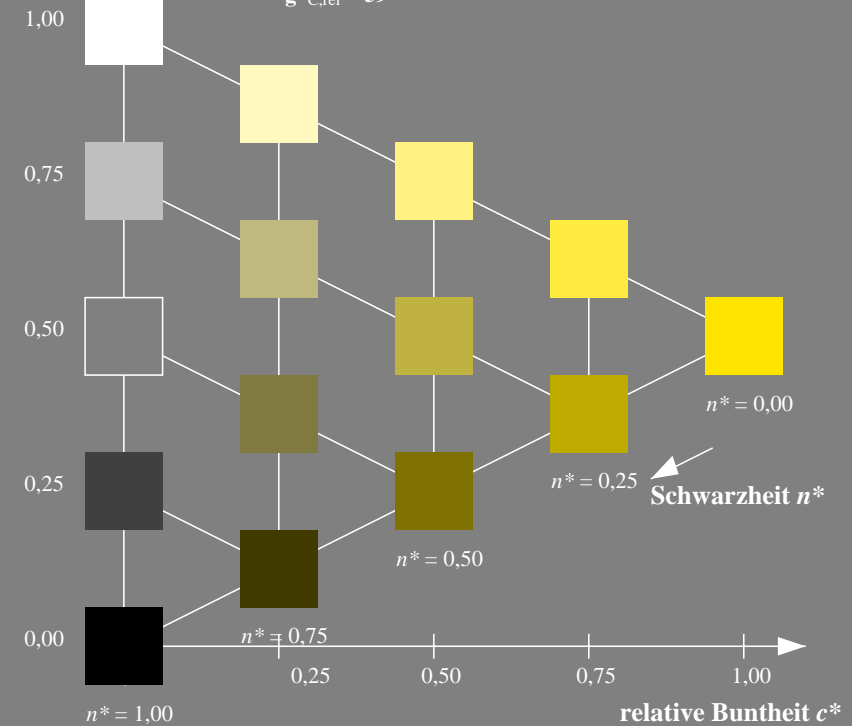
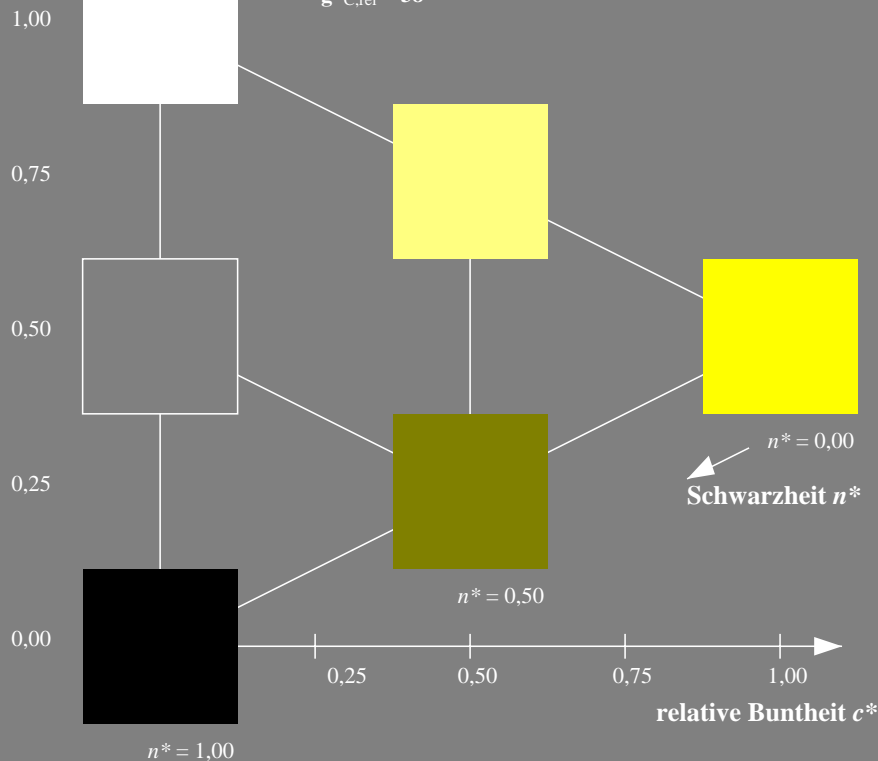
D65: Buntton Y
LCH*Ma: 86 88 92
olv*Ma: 1.0 0.9 0.0

Dreiecks-Helligkeit t^*



%Umfang
 $u^*_{rel} = 93$
%Regularität
 $g^*_{H,rel} = 57$
 $g^*_{C,rel} = 59$

ORS18; adaptierte CIELAB-Daten					
	$L^*=L^*_a$	a^*_a	b^*_a	$C^*_{ab,a}$	$h^*_{ab,a}$
OMa	47.94	65.39	50.52	82.63	38
YMa	90.37	-10.26	91.75	92.32	96
LMa	50.9	-62.83	34.96	71.91	151
CMa	58.62	-30.34	-45.01	54.3	236
VMa	25.72	31.1	-44.4	54.22	305
MMa	48.13	75.28	-8.36	75.74	354
NMa	18.01	0.0	0.0	0.0	0
WMa	95.41	0.0	0.0	0.0	0
RCIE	39.92	58.66	26.98	64.57	25
JCIE	81.26	-2.16	67.76	67.79	92
GCIE	52.23	-42.25	11.76	43.87	164
BCIE	30.57	1.15	-46.84	46.86	271



VG460-7, 3stufige Reihen für konstanten CIELAB Buntton 92/360 = 0.254 (links)

5stufige Reihen für konstanten CIELAB Buntton 92/360 = 0.254 (rechts)

BAM-Prüfvorlage VG46; Farbmetrik-Systeme CNS18 & ORS18input: olv* setrgbcolor
D65: 3 und 5stufige Farbreihen für 10 Bunttöne

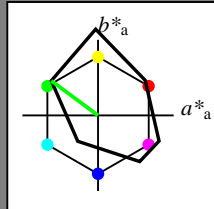
output: no change compared to input

Eingabe: Farbmetrisches Drucker-Reflektiv-System FRS06

für Buntton $h^* = lab^*h = 143/360 = 0.398$
 lab^*ich und lab^*nch

D65: Buntton G
LCH*Ma: 39 77 143
olv*Ma: 0.0 1.0 0.0

Dreiecks-Helligkeit t^*



%Umfang
 $u^*_{rel} = 115$
%Regularität
 $g^*_{H,rel} = 28$
 $g^*_{C,rel} = 38$

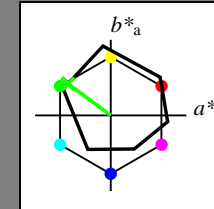
FRS06; adaptierte CIELAB-Daten					
	$L^*=L^*_a$	a^*_a	b^*_a	$C^*_{ab,a}$	$h^*_{ab,a}$
RMa	32.57	62.32	46.49	77.75	37
JMa	82.73	-3.16	113.99	114.03	92
GMa	39.43	-61.79	45.84	76.95	143
G50BMa	47.86	-26.79	-34.24	43.49	232
BMa	10.16	55.12	-61.03	82.24	312
B50RMa	34.5	80.68	-33.92	87.52	337
NMa	6.25	0.0	0.0	0.0	0
WMa	91.97	0.0	0.0	0.0	0
RCIE	39.92	59.8	31.05	67.38	27
JCIE	81.26	-2.52	76.25	76.29	92
GCIE	52.23	-41.56	17.14	44.96	158
BCIE	30.57	2.63	-43.77	43.86	273

Ausgabe: Farbmetrisches Offset-Reflektiv-System ORS18

für Buntton $h^* = lab^*h = 143/360 = 0.398$
 lab^*ich und lab^*nch

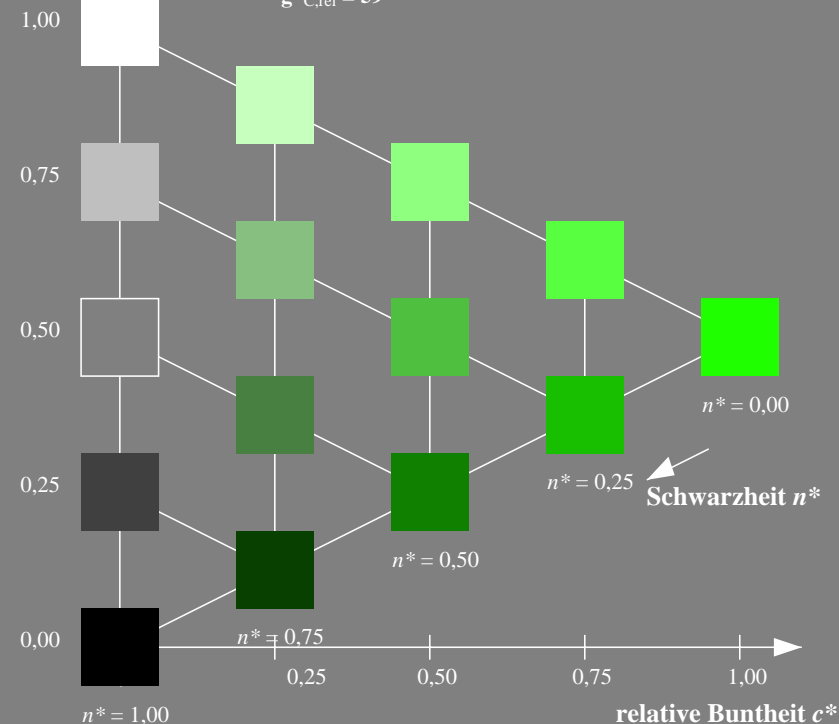
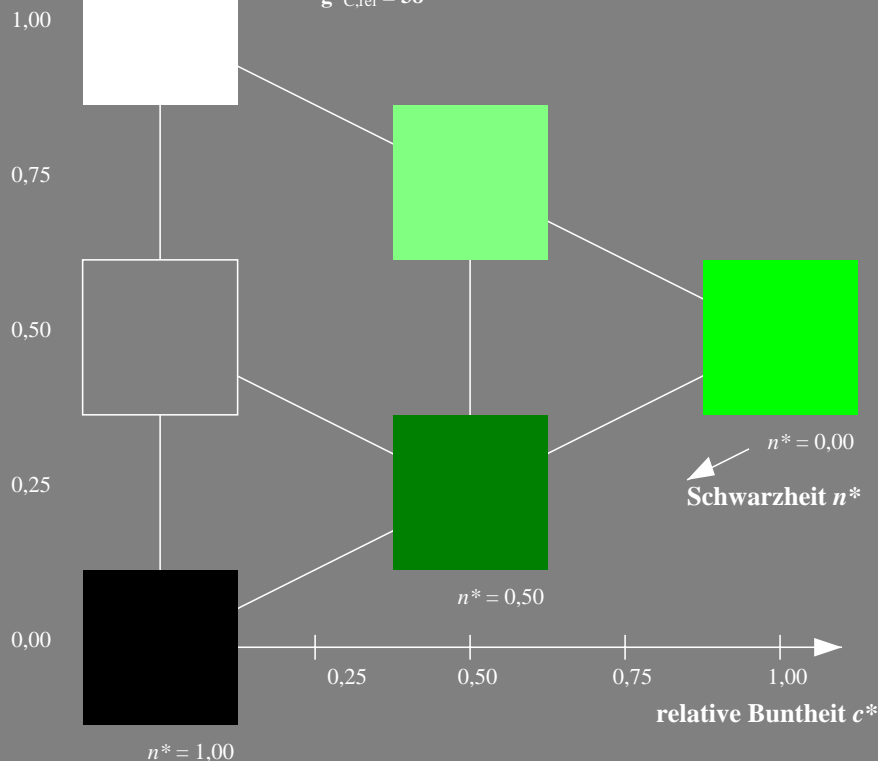
D65: Buntton L
LCH*Ma: 56 70 143
olv*Ma: 0.12 1.0 0.0

Dreiecks-Helligkeit t^*



%Umfang
 $u^*_{rel} = 93$
%Regularität
 $g^*_{H,rel} = 57$
 $g^*_{C,rel} = 59$

ORS18; adaptierte CIELAB-Daten					
	$L^*=L^*_a$	a^*_a	b^*_a	$C^*_{ab,a}$	$h^*_{ab,a}$
OMa	47.94	65.39	50.52	82.63	38
YMa	90.37	-10.26	91.75	92.32	96
LMa	50.9	-62.83	34.96	71.91	151
CMa	58.62	-30.34	-45.01	54.3	236
VMa	25.72	31.1	-44.4	54.22	305
MMa	48.13	75.28	-8.36	75.74	354
NMa	18.01	0.0	0.0	0.0	0
WMa	95.41	0.0	0.0	0.0	0
RCIE	39.92	58.66	26.98	64.57	25
JCIE	81.26	-2.16	67.76	67.79	92
GCIE	52.23	-42.25	11.76	43.87	164
BCIE	30.57	1.15	-46.84	46.86	271



VG460-7, 3stufige Reihen für konstanten CIELAB Buntton 143/360 = 0.398 (links)

5stufige Reihen für konstanten CIELAB Buntton 143/360 = 0.398 (rechts)

BAM-Prüfvorlage VG46; Farbmetrik-Systeme CNS18 & ORS18input: olv* setrgbcolor
D65: 3 und 5stufige Farbreihen für 10 Bunttöne

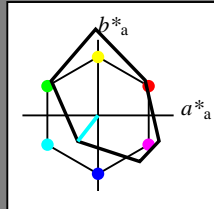
output: no change compared to input

Eingabe: Farbmetrisches Drucker-Reflektiv-System FRS06

für Buntton $h^* = lab^*h = 232/360 = 0.644$
 lab^*ich und lab^*nch

D65: Buntton G50B
LCH*Ma: 48 43 232
olv*Ma: 0.0 1.0 1.0

Dreiecks-Helligkeit t^*



%Umfang
 $u^*_{rel} = 115$
%Regularität
 $g^*_{H,rel} = 28$
 $g^*_{C,rel} = 38$

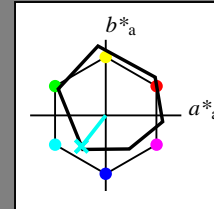
FRS06; adaptierte CIELAB-Daten					
	$L^*=L^*_a$	a^*_a	b^*_a	$C^*_{ab,a}$	$h^*_{ab,a}$
RMa	32.57	62.32	46.49	77.75	37
JMa	82.73	-3.16	113.99	114.03	92
GMa	39.43	-61.79	45.84	76.95	143
G50BMa	47.86	-26.79	-34.24	43.49	232
BMa	10.16	55.12	-61.03	82.24	312
B50RMa	34.5	80.68	-33.92	87.52	337
NMa	6.25	0.0	0.0	0.0	0
WMa	91.97	0.0	0.0	0.0	0
RCIE	39.92	59.8	31.05	67.38	27
JCIE	81.26	-2.52	76.25	76.29	92
GCIE	52.23	-41.56	17.14	44.96	158
BCIE	30.57	2.63	-43.77	43.86	273

Ausgabe: Farbmetrisches Offset-Reflektiv-System ORS18

für Buntton $h^* = lab^*h = 232/360 = 0.644$
 lab^*ich und lab^*nch

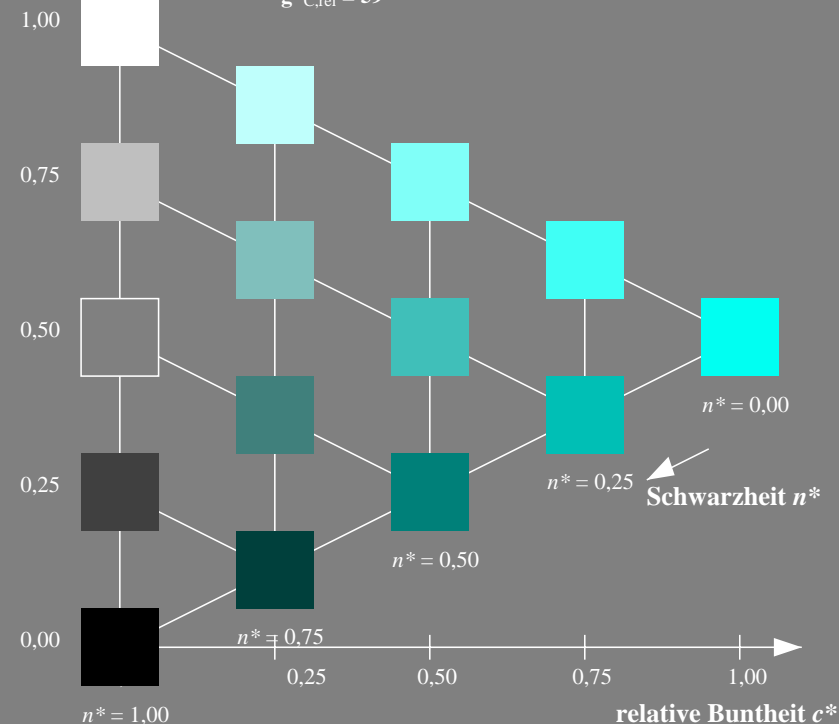
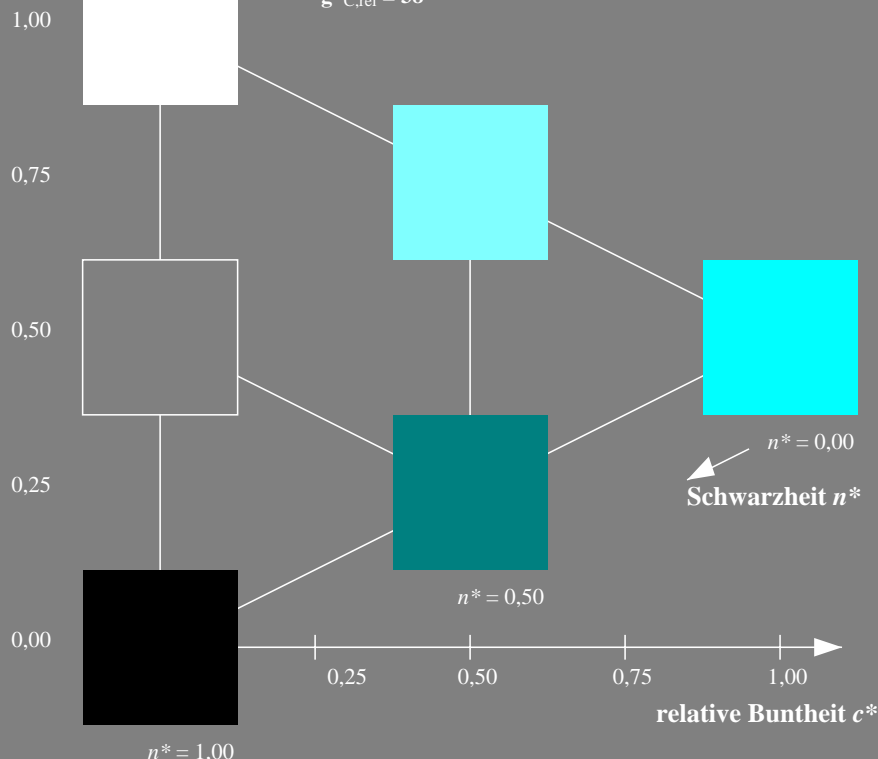
D65: Buntton C
LCH*Ma: 58 52 232
olv*Ma: 0.0 1.0 0.95

Dreiecks-Helligkeit t^*



%Umfang
 $u^*_{rel} = 93$
%Regularität
 $g^*_{H,rel} = 57$
 $g^*_{C,rel} = 59$

ORS18; adaptierte CIELAB-Daten					
	$L^*=L^*_a$	a^*_a	b^*_a	$C^*_{ab,a}$	$h^*_{ab,a}$
OMa	47.94	65.39	50.52	82.63	38
YMa	90.37	-10.26	91.75	92.32	96
LMa	50.9	-62.83	34.96	71.91	151
CMa	58.62	-30.34	-45.01	54.3	236
VMa	25.72	31.1	-44.4	54.22	305
MMa	48.13	75.28	-8.36	75.74	354
NMa	18.01	0.0	0.0	0.0	0
WMa	95.41	0.0	0.0	0.0	0
RCIE	39.92	58.66	26.98	64.57	25
JCIE	81.26	-2.16	67.76	67.79	92
GCIE	52.23	-42.25	11.76	43.87	164
BCIE	30.57	1.15	-46.84	46.86	271



VG460-7, 3stufige Reihen für konstanten CIELAB Buntton 232/360 = 0.644 (links)

5stufige Reihen für konstanten CIELAB Buntton 232/360 = 0.644 (rechts)

BAM-Prüfvorlage VG46; Farbmetrik-Systeme CNS18 & ORS18input: olv* setrgbcolor

D65: 3 und 5stufige Farbreihen für 10 Bunttöne

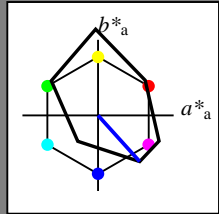
output: no change compared to input

Eingabe: Farbmetrisches Drucker-Reflektiv-System FRS06

für Buntton $h^* = lab^*h = 312/360 = 0.867$
 lab^*ich und lab^*nch

D65: Buntton B
LCH*Ma: 10 82 312
olv*Ma: 0.0 0.0 1.0

Dreiecks-Helligkeit t^*



%Umfang
 $u^*_{rel} = 115$
%Regularität
 $g^*_{H,rel} = 28$
 $g^*_{C,rel} = 38$

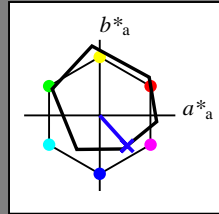
FRS06; adaptierte CIELAB-Daten					
	$L^*=L^*_a$	a^*_a	b^*_a	$C^*_{ab,a}$	$h^*_{ab,a}$
RMa	32.57	62.32	46.49	77.75	37
JMa	82.73	-3.16	113.99	114.03	92
GMa	39.43	-61.79	45.84	76.95	143
G50BMa	47.86	-26.79	-34.24	43.49	232
BMa	10.16	55.12	-61.03	82.24	312
B50RMa	34.5	80.68	-33.92	87.52	337
NMa	6.25	0.0	0.0	0.0	0
WMa	91.97	0.0	0.0	0.0	0
RCIE	39.92	59.8	31.05	67.38	27
JCIE	81.26	-2.52	76.25	76.29	92
GCIE	52.23	-41.56	17.14	44.96	158
BCIE	30.57	2.63	-43.77	43.86	273

Ausgabe: Farbmetrisches Offset-Reflektiv-System ORS18

für Buntton $h^* = lab^*h = 312/360 = 0.867$
 lab^*ich und lab^*nch

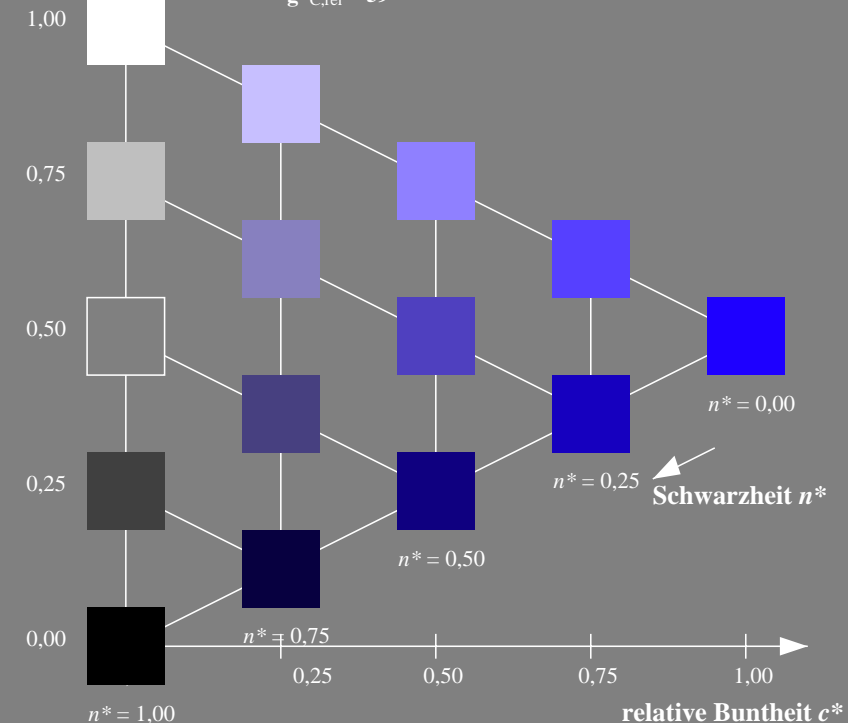
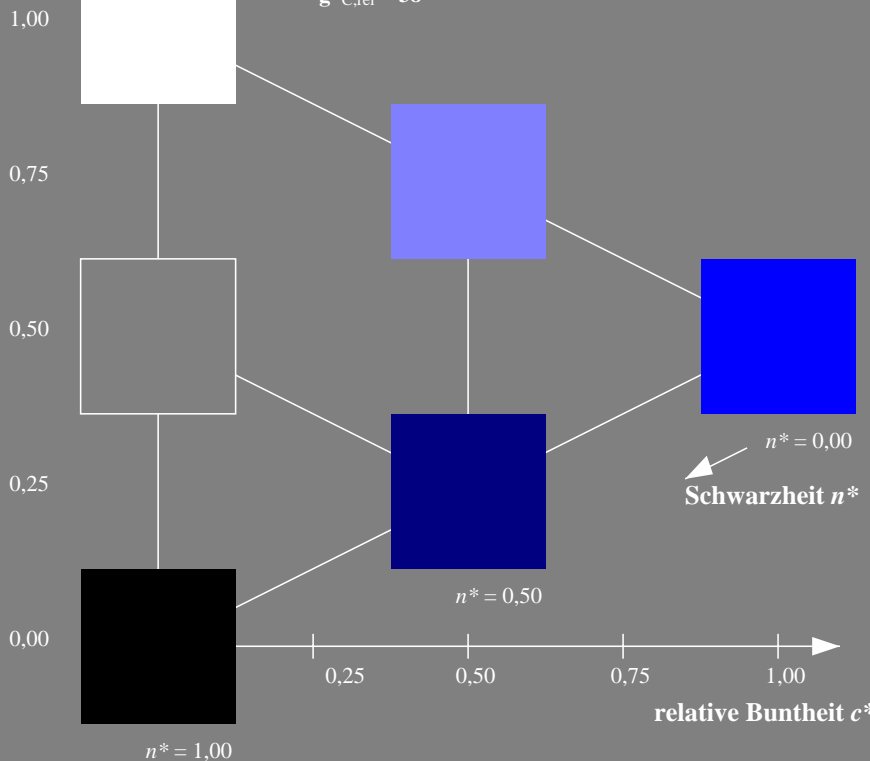
D65: Buntton V
LCH*Ma: 28 54 312
olv*Ma: 0.12 0.0 1.0

Dreiecks-Helligkeit t^*



%Umfang
 $u^*_{rel} = 93$
%Regularität
 $g^*_{H,rel} = 57$
 $g^*_{C,rel} = 59$

ORS18; adaptierte CIELAB-Daten					
	$L^*=L^*_a$	a^*_a	b^*_a	$C^*_{ab,a}$	$h^*_{ab,a}$
OMa	47.94	65.39	50.52	82.63	38
YMa	90.37	-10.26	91.75	92.32	96
LMa	50.9	-62.83	34.96	71.91	151
CMa	58.62	-30.34	-45.01	54.3	236
VMa	25.72	31.1	-44.4	54.22	305
MMa	48.13	75.28	-8.36	75.74	354
NMa	18.01	0.0	0.0	0.0	0
WMa	95.41	0.0	0.0	0.0	0
RCIE	39.92	58.66	26.98	64.57	25
JCIE	81.26	-2.16	67.76	67.79	92
GCIE	52.23	-42.25	11.76	43.87	164
BCIE	30.57	1.15	-46.84	46.86	271



VG460-7, 3stufige Reihen für konstanten CIELAB Buntton 312/360 = 0.867 (links)

5stufige Reihen für konstanten CIELAB Buntton 312/360 = 0.867 (rechts)

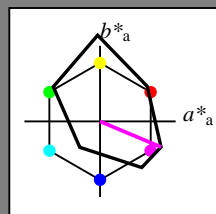
BAM-Prüfvorlage VG46; Farbmetrik-Systeme CNS18 & ORS18input: olv* setrgbcolor
D65: 3 und 5stufige Farbreihen für 10 Bunttöne
output: no change compared to input

Eingabe: Farbmetrisches Drucker-Reflektiv-System FRS06

für Buntton $h^* = lab^*h = 337/360 = 0.937$
 lab^*ich und lab^*nch

D65: Buntton B50R
LCH*Ma: 35 88 337
olv*Ma: 1.0 0.0 1.0

Dreiecks-Helligkeit t^*



%Umfang
 $u^*_{rel} = 115$
%Regularität
 $g^*_{H,rel} = 28$
 $g^*_{C,rel} = 38$

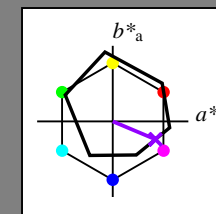
FRS06; adaptierte CIELAB-Daten					
	$L^*=L^*_a$	a^*_a	b^*_a	$C^*_{ab,a}$	$h^*_{ab,a}$
RMa	32.57	62.32	46.49	77.75	37
JMa	82.73	-3.16	113.99	114.03	92
GMa	39.43	-61.79	45.84	76.95	143
G50BMa	47.86	-26.79	-34.24	43.49	232
BMa	10.16	55.12	-61.03	82.24	312
B50RMa	34.5	80.68	-33.92	87.52	337
NMa	6.25	0.0	0.0	0.0	0
WMa	91.97	0.0	0.0	0.0	0
RCIE	39.92	59.8	31.05	67.38	27
JCIE	81.26	-2.52	76.25	76.29	92
GCIE	52.23	-41.56	17.14	44.96	158
BCIE	30.57	2.63	-43.77	43.86	273

Ausgabe: Farbmetrisches Offset-Reflektiv-System ORS18

für Buntton $h^* = lab^*h = 337/360 = 0.937$
 lab^*ich und lab^*nch

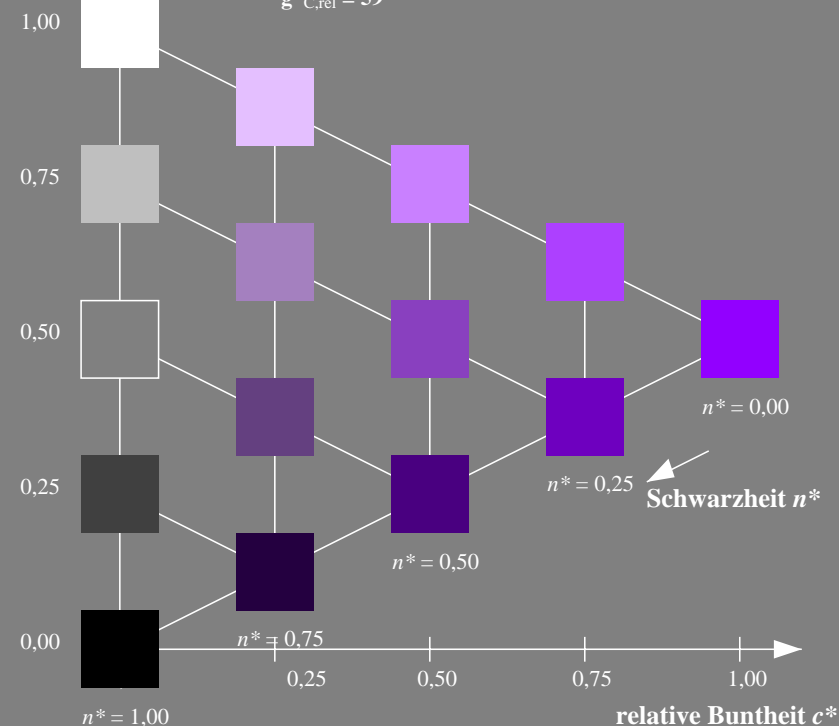
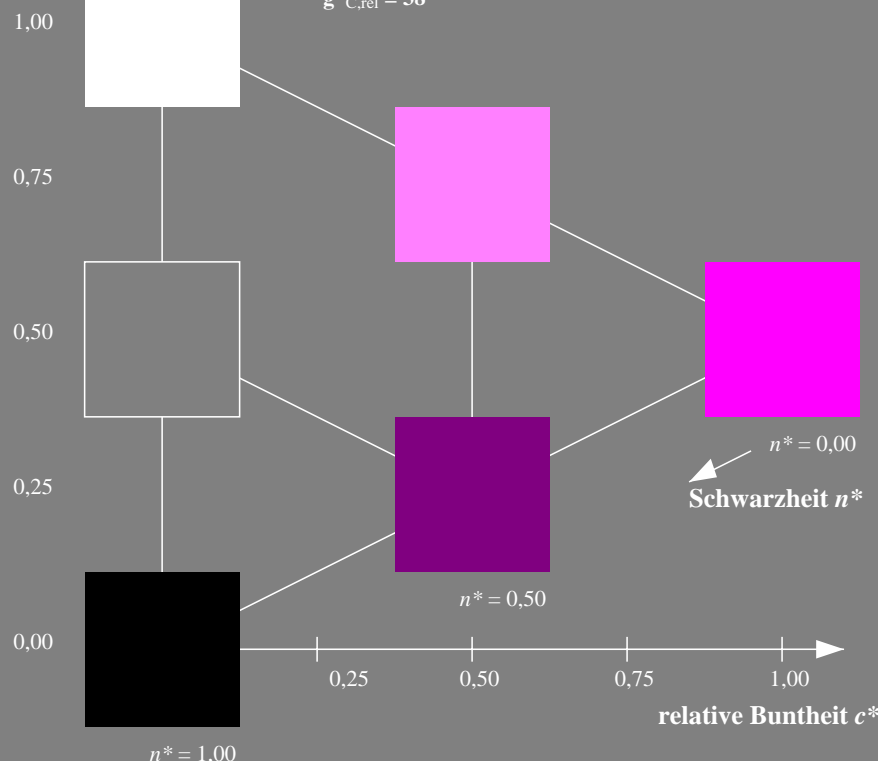
D65: Buntton M
LCH*Ma: 39 61 337
olv*Ma: 0.57 0.0 1.0

Dreiecks-Helligkeit t^*



%Umfang
 $u^*_{rel} = 93$
%Regularität
 $g^*_{H,rel} = 57$
 $g^*_{C,rel} = 59$

ORS18; adaptierte CIELAB-Daten					
	$L^*=L^*_a$	a^*_a	b^*_a	$C^*_{ab,a}$	$h^*_{ab,a}$
OMa	47.94	65.39	50.52	82.63	38
YMa	90.37	-10.26	91.75	92.32	96
LMa	50.9	-62.83	34.96	71.91	151
CMa	58.62	-30.34	-45.01	54.3	236
VMa	25.72	31.1	-44.4	54.22	305
MMa	48.13	75.28	-8.36	75.74	354
NMa	18.01	0.0	0.0	0.0	0
WMa	95.41	0.0	0.0	0.0	0
RCIE	39.92	58.66	26.98	64.57	25
JCIE	81.26	-2.16	67.76	67.79	92
GCIE	52.23	-42.25	11.76	43.87	164
BCIE	30.57	1.15	-46.84	46.86	271



VG460-7, 3stufige Reihen für konstanten CIELAB Buntton 337/360 = 0.937 (links)

5stufige Reihen für konstanten CIELAB Buntton 337/360 = 0.937 (rechts)

BAM-Prüfvorlage VG46; Farbmetrik-Systeme CNS18 & ORS18input: olv* setrgbcolor
D65: 3 und 5stufige Farbreihen für 10 Bunttöne

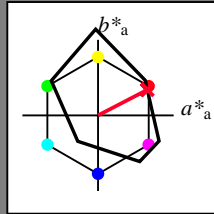
output: no change compared to input

Eingabe: Farbmetrisches Drucker-Reflektiv-System FRS06

für Buntton $h^* = lab^*h = 27/360 = 0.076$
 lab^*ich und lab^*nch

D65: Buntton R
LCH*Ma: 33 73 27
olv*Ma: 1.0 0.0 0.16

Dreiecks-Helligkeit t^*



%Umfang
 $u^*_{rel} = 115$
%Regularität
 $g^*_{H,rel} = 28$
 $g^*_{C,rel} = 38$

FRS06; adaptierte CIELAB-Daten

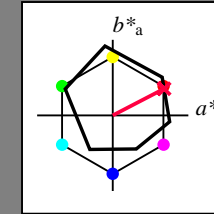
	$L^*=L^*_a$	a^*_a	b^*_a	$C^*_{ab,a}$	$h^*_{ab,a}$
RMa	32.57	62.32	46.49	77.75	37
JMa	82.73	-3.16	113.99	114.03	92
GMa	39.43	-61.79	45.84	76.95	143
G50BMa	47.86	-26.79	-34.24	43.49	232
BMa	10.16	55.12	-61.03	82.24	312
B50RMa	34.5	80.68	-33.92	87.52	337
NMa	6.25	0.0	0.0	0.0	0
WMa	91.97	0.0	0.0	0.0	0
RCIE	39.92	59.8	31.05	67.38	27
JCIE	81.26	-2.52	76.25	76.29	92
GCIE	52.23	-41.56	17.14	44.96	158
BCIE	30.57	2.63	-43.77	43.86	273

Ausgabe: Farbmetrisches Offset-Reflektiv-System ORS18

für Buntton $h^* = lab^*h = 27/360 = 0.076$
 lab^*ich und lab^*nch

D65: Buntton R
LCH*Ma: 48 77 27
olv*Ma: 1.0 0.0 0.26

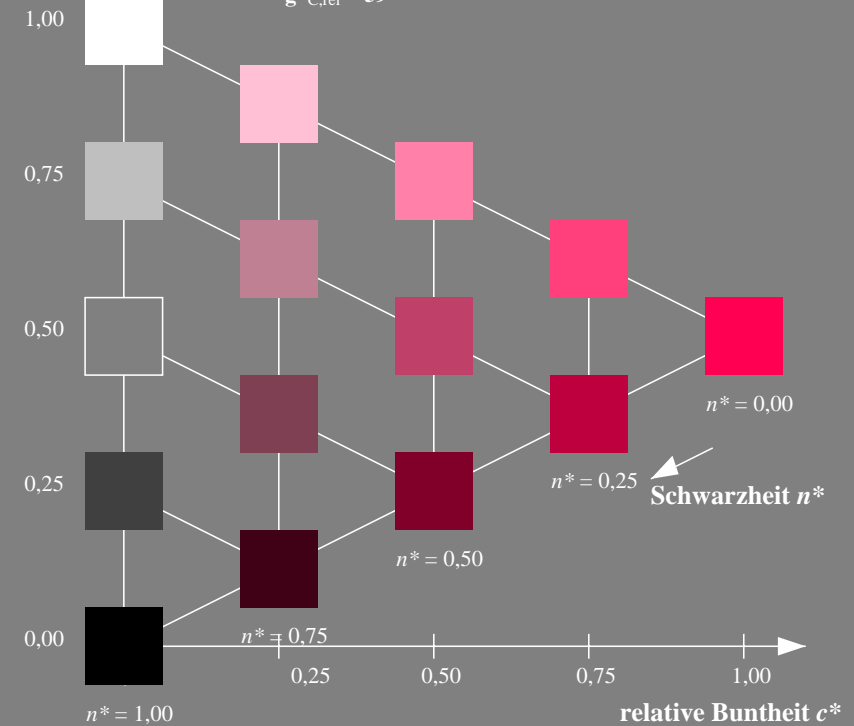
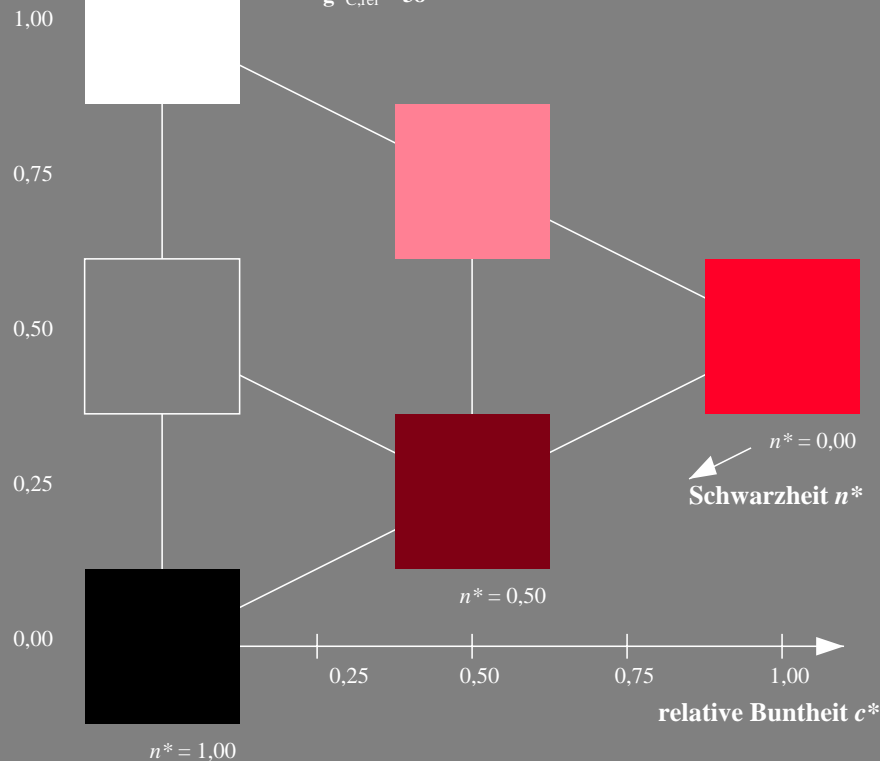
Dreiecks-Helligkeit t^*



%Umfang
 $u^*_{rel} = 93$
%Regularität
 $g^*_{H,rel} = 57$
 $g^*_{C,rel} = 59$

ORS18; adaptierte CIELAB-Daten

	$L^*=L^*_a$	a^*_a	b^*_a	$C^*_{ab,a}$	$h^*_{ab,a}$
OMa	47.94	65.39	50.52	82.63	38
YMa	90.37	-10.26	91.75	92.32	96
LMa	50.9	-62.83	34.96	71.91	151
CMa	58.62	-30.34	-45.01	54.3	236
VMa	25.72	31.1	-44.4	54.22	305
MMa	48.13	75.28	-8.36	75.74	354
NMa	18.01	0.0	0.0	0.0	0
WMa	95.41	0.0	0.0	0.0	0
RCIE	39.92	58.66	26.98	64.57	25
JCIE	81.26	-2.16	67.76	67.79	92
GCIE	52.23	-42.25	11.76	43.87	164
BCIE	30.57	1.15	-46.84	46.86	271



VG460-7, 3stufige Reihen für konstanten CIELAB Buntton 27/360 = 0.076 (links)

5stufige Reihen für konstanten CIELAB Buntton 27/360 = 0.076 (rechts)

BAM-Prüfvorlage VG46; Farbmetrik-Systeme CNS18 & ORS18input: olv* setrgbcolor
D65: 3 und 5stufige Farbreihen für 10 Bunttöne

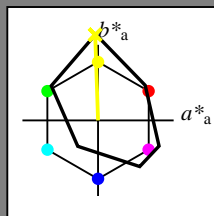
output: no change compared to input

Eingabe: Farbmetrisches Drucker-Reflektiv-System FRS06

für Buntton $h^* = lab^*h = 92/360 = 0.255$
 lab^*ich und lab^*nch

D65: Buntton J
LCH*Ma: 82 113 92
olv*Ma: 0.99 1.0 0.0

Dreiecks-Helligkeit t^*



%Umfang
 $u^*_{rel} = 115$
%Regularität
 $g^*_{H,rel} = 28$
 $g^*_{C,rel} = 38$

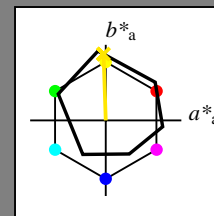
FRS06; adaptierte CIELAB-Daten					
	$L^*=L^*_a$	a^*_a	b^*_a	$C^*_{ab,a}$	$h^*_{ab,a}$
RMa	32.57	62.32	46.49	77.75	37
JMa	82.73	-3.16	113.99	114.03	92
GMa	39.43	-61.79	45.84	76.95	143
G50BMa	47.86	-26.79	-34.24	43.49	232
BMa	10.16	55.12	-61.03	82.24	312
B50RMa	34.5	80.68	-33.92	87.52	337
NMa	6.25	0.0	0.0	0.0	0
WMa	91.97	0.0	0.0	0.0	0
RCIE	39.92	59.8	31.05	67.38	27
JCIE	81.26	-2.52	76.25	76.29	92
GCIE	52.23	-41.56	17.14	44.96	158
BCIE	30.57	2.63	-43.77	43.86	273

Ausgabe: Farbmetrisches Offset-Reflektiv-System ORS18

für Buntton $h^* = lab^*h = 92/360 = 0.255$
 lab^*ich und lab^*nch

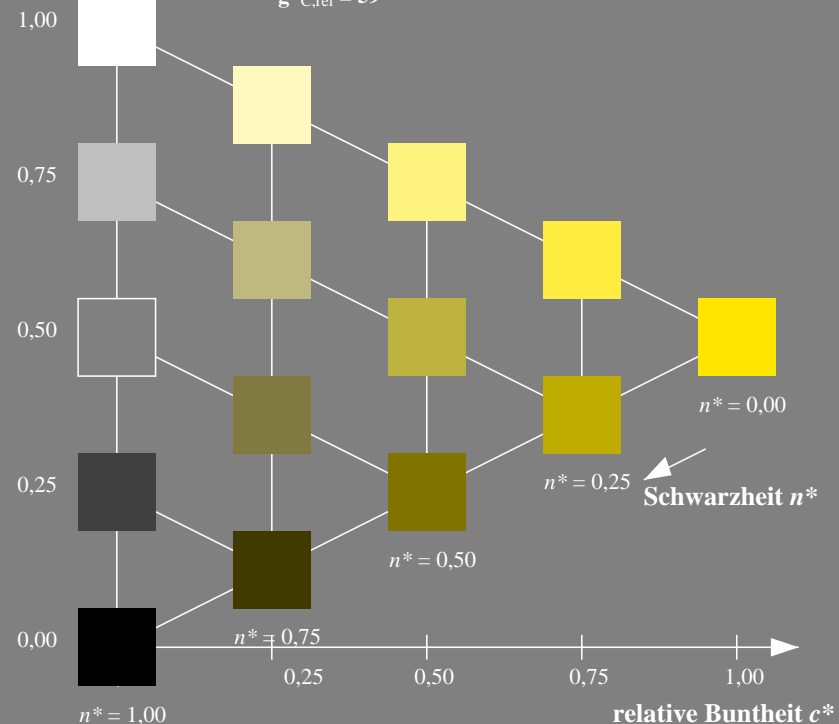
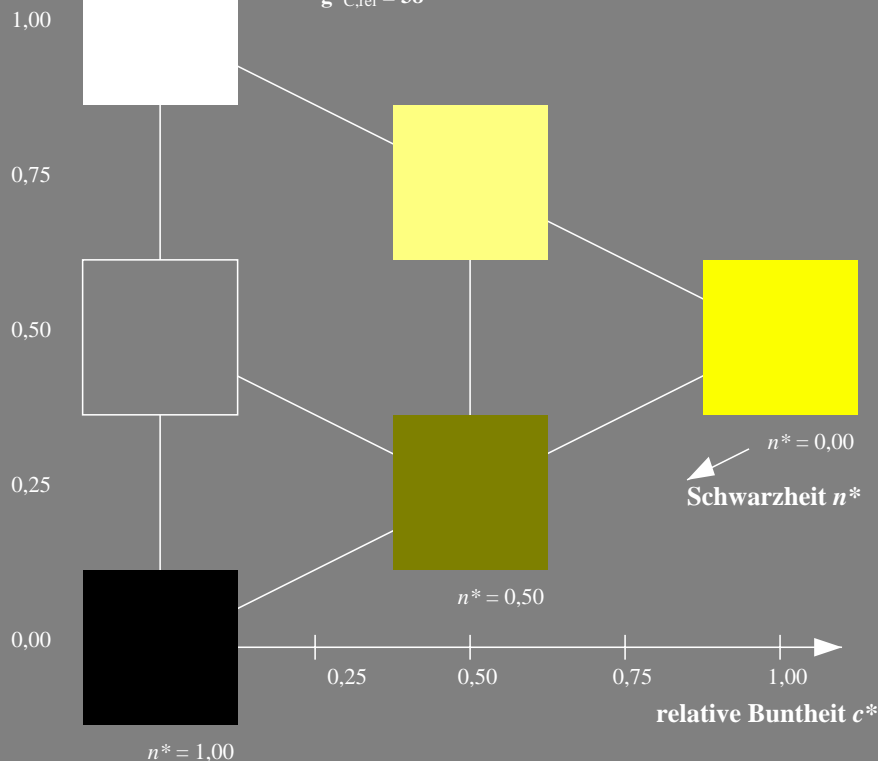
D65: Buntton J
LCH*Ma: 86 88 92
olv*Ma: 1.0 0.9 0.0

Dreiecks-Helligkeit t^*



%Umfang
 $u^*_{rel} = 93$
%Regularität
 $g^*_{H,rel} = 57$
 $g^*_{C,rel} = 59$

ORS18; adaptierte CIELAB-Daten					
	$L^*=L^*_a$	a^*_a	b^*_a	$C^*_{ab,a}$	$h^*_{ab,a}$
OMa	47.94	65.39	50.52	82.63	38
YMa	90.37	-10.26	91.75	92.32	96
LMa	50.9	-62.83	34.96	71.91	151
CMa	58.62	-30.34	-45.01	54.3	236
VMa	25.72	31.1	-44.4	54.22	305
MMa	48.13	75.28	-8.36	75.74	354
NMa	18.01	0.0	0.0	0.0	0
WMa	95.41	0.0	0.0	0.0	0
RCIE	39.92	58.66	26.98	64.57	25
JCIE	81.26	-2.16	67.76	67.79	92
GCIE	52.23	-42.25	11.76	43.87	164
BCIE	30.57	1.15	-46.84	46.86	271



VG460-7, 3stufige Reihen für konstanten CIELAB Buntton 92/360 = 0.255 (links)

5stufige Reihen für konstanten CIELAB Buntton 92/360 = 0.255 (rechts)

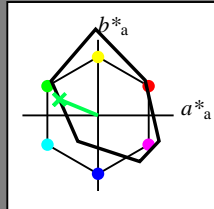
BAM-Prüfvorlage VG46; Farbmetrik-Systeme CNS18 & ORS18input: olv* setrgbcolor
D65: 3 und 5stufige Farbreihen für 10 Bunttöne
output: no change compared to input

Eingabe: Farbmetrisches Drucker-Reflektiv-System FRS06

für Buntton $h^* = lab^*h = 158/360 = 0.438$
 lab^*ich und lab^*nch

D65: Buntton G
LCH*Ma: 42 55 158
olv*Ma: 0.0 1.0 0.31

Dreiecks-Helligkeit t^*



%Umfang
 $u^*_{rel} = 115$
%Regularität
 $g^*_{H,rel} = 28$
 $g^*_{C,rel} = 38$

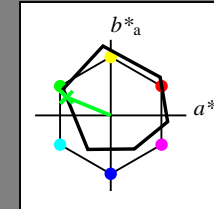
FRS06; adaptierte CIELAB-Daten					
	$L^*=L^*_a$	a^*_a	b^*_a	$C^*_{ab,a}$	$h^*_{ab,a}$
RMa	32.57	62.32	46.49	77.75	37
JMa	82.73	-3.16	113.99	114.03	92
GMa	39.43	-61.79	45.84	76.95	143
G50BMa	47.86	-26.79	-34.24	43.49	232
BMa	10.16	55.12	-61.03	82.24	312
B50RMa	34.5	80.68	-33.92	87.52	337
NMa	6.25	0.0	0.0	0.0	0
WMa	91.97	0.0	0.0	0.0	0
RCIE	39.92	59.8	31.05	67.38	27
JCIE	81.26	-2.52	76.25	76.29	92
GCIE	52.23	-41.56	17.14	44.96	158
BCIE	30.57	2.63	-43.77	43.86	273

Ausgabe: Farbmetrisches Offset-Reflektiv-System ORS18

für Buntton $h^* = lab^*h = 158/360 = 0.438$
 lab^*ich und lab^*nch

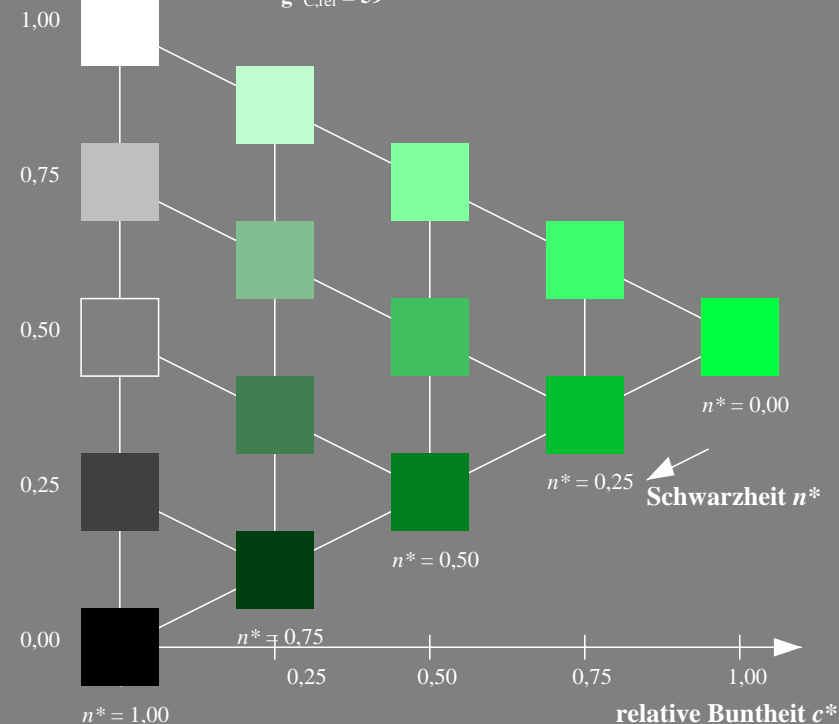
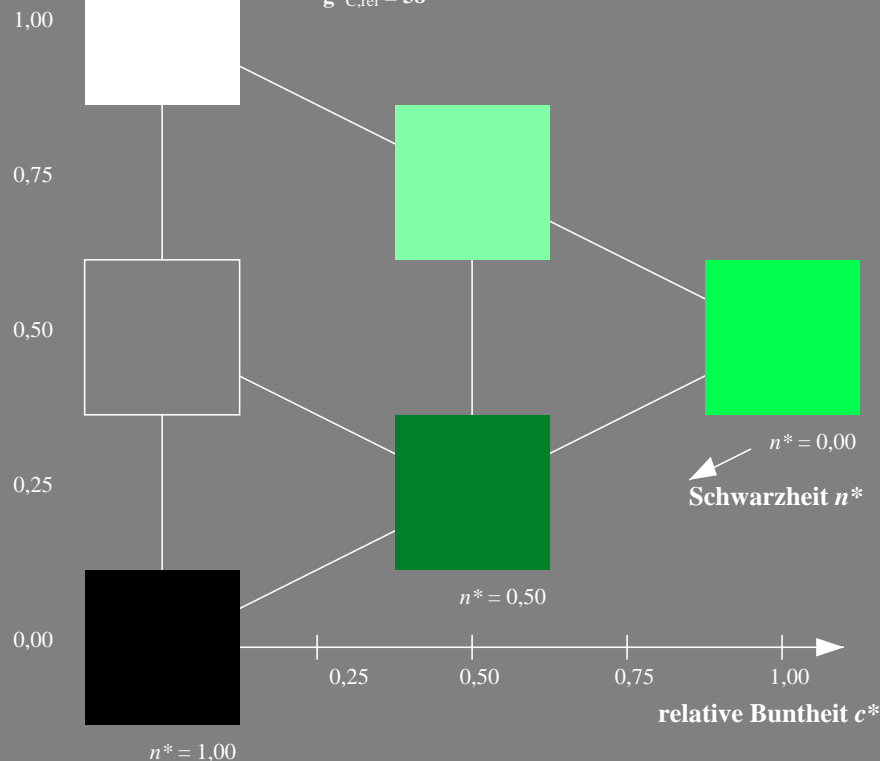
D65: Buntton G
LCH*Ma: 52 63 158
olv*Ma: 0.0 1.0 0.14

Dreiecks-Helligkeit t^*



%Umfang
 $u^*_{rel} = 93$
%Regularität
 $g^*_{H,rel} = 57$
 $g^*_{C,rel} = 59$

ORS18; adaptierte CIELAB-Daten					
	$L^*=L^*_a$	a^*_a	b^*_a	$C^*_{ab,a}$	$h^*_{ab,a}$
OMa	47.94	65.39	50.52	82.63	38
YMa	90.37	-10.26	91.75	92.32	96
LMa	50.9	-62.83	34.96	71.91	151
CMa	58.62	-30.34	-45.01	54.3	236
VMa	25.72	31.1	-44.4	54.22	305
MMa	48.13	75.28	-8.36	75.74	354
NMa	18.01	0.0	0.0	0.0	0
WMa	95.41	0.0	0.0	0.0	0
RCIE	39.92	58.66	26.98	64.57	25
JCIE	81.26	-2.16	67.76	67.79	92
GCIE	52.23	-42.25	11.76	43.87	164
BCIE	30.57	1.15	-46.84	46.86	271



VG460-7, 3stufige Reihen für konstanten CIELAB Buntton 158/360 = 0.438 (links)

5stufige Reihen für konstanten CIELAB Buntton 158/360 = 0.438 (rechts)

BAM-Prüfvorlage VG46; Farbmetrik-Systeme CNS18 & ORS18input: olv* setrgbcolor
D65: 3 und 5stufige Farbreihen für 10 Bunttöne

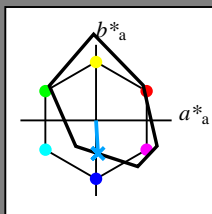
output: no change compared to input

Eingabe: Farbmetrisches Drucker-Reflektiv-System FRS06

für Buntton $h^* = lab^*h = 273/360 = 0.76$
 lab^*ich und lab^*nch

D65: Buntton B
LCH*Ma: 34 44 273
olv*Ma: 0.0 0.64 1.0

Dreiecks-Helligkeit t^*



%Umfang
 $u^*_{rel} = 115$
%Regularität
 $g^*_{H,rel} = 28$
 $g^*_{C,rel} = 38$

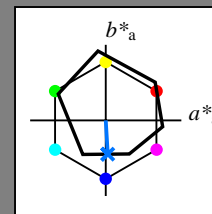
FRS06; adaptierte CIELAB-Daten					
	$L^*=L^*_a$	a^*_a	b^*_a	$C^*_{ab,a}$	$h^*_{ab,a}$
RMa	32.57	62.32	46.49	77.75	37
JMa	82.73	-3.16	113.99	114.03	92
GMa	39.43	-61.79	45.84	76.95	143
G50BMa	47.86	-26.79	-34.24	43.49	232
BMa	10.16	55.12	-61.03	82.24	312
B50RMa	34.5	80.68	-33.92	87.52	337
NMa	6.25	0.0	0.0	0.0	0
WMa	91.97	0.0	0.0	0.0	0
RCIE	39.92	59.8	31.05	67.38	27
JCIE	81.26	-2.52	76.25	76.29	92
GCIE	52.23	-41.56	17.14	44.96	158
BCIE	30.57	2.63	-43.77	43.86	273

Ausgabe: Farbmetrisches Offset-Reflektiv-System ORS18

für Buntton $h^* = lab^*h = 273/360 = 0.76$
 lab^*ich und lab^*nch

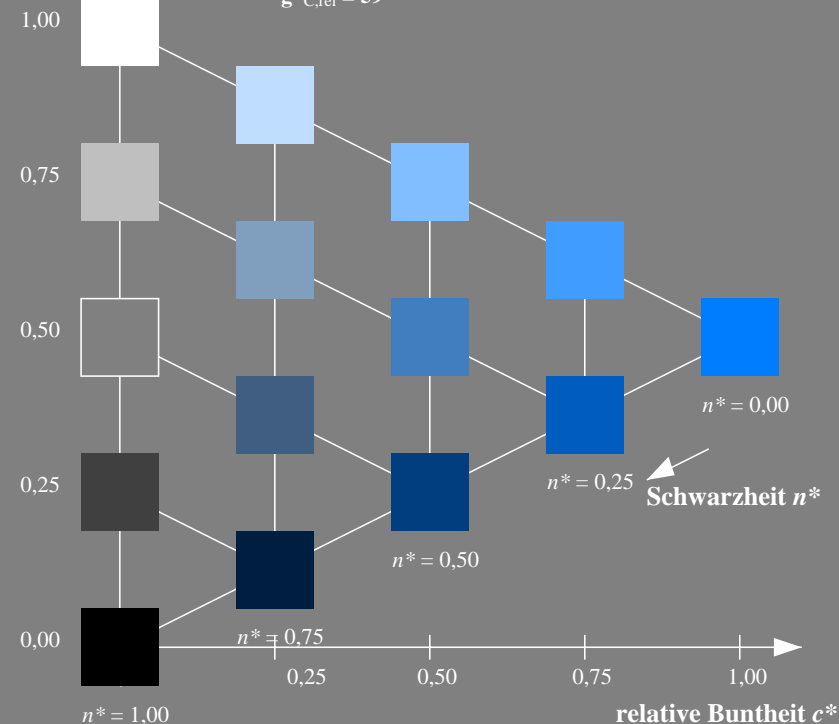
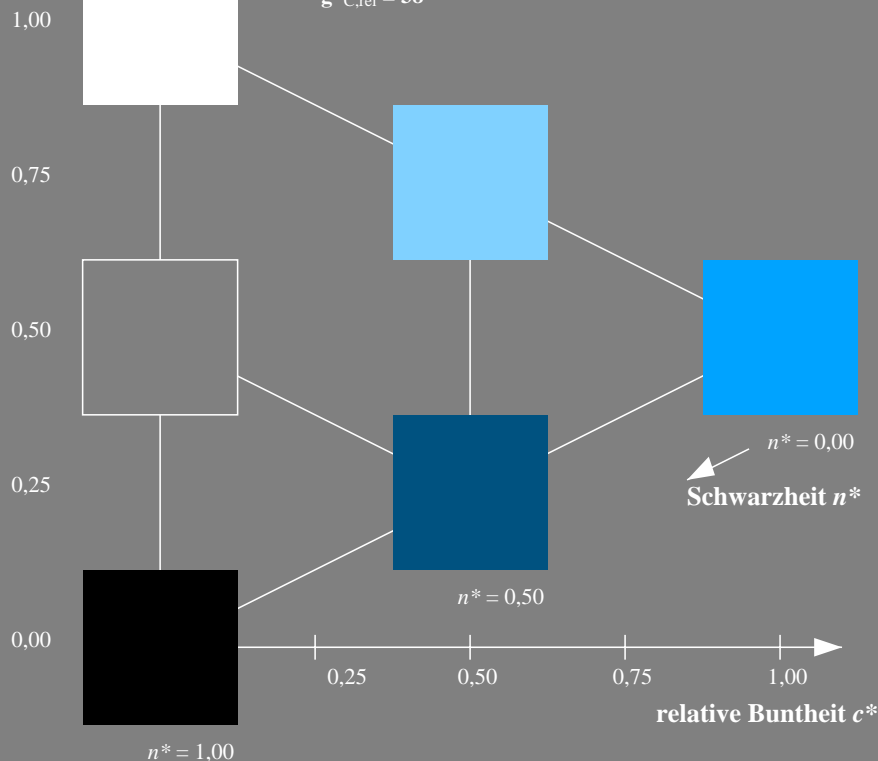
D65: Buntton B
LCH*Ma: 41 45 273
olv*Ma: 0.0 0.46 1.0

Dreiecks-Helligkeit t^*



%Umfang
 $u^*_{rel} = 93$
%Regularität
 $g^*_{H,rel} = 57$
 $g^*_{C,rel} = 59$

ORS18; adaptierte CIELAB-Daten					
	$L^*=L^*_a$	a^*_a	b^*_a	$C^*_{ab,a}$	$h^*_{ab,a}$
OMa	47.94	65.39	50.52	82.63	38
YMa	90.37	-10.26	91.75	92.32	96
LMa	50.9	-62.83	34.96	71.91	151
CMa	58.62	-30.34	-45.01	54.3	236
VMa	25.72	31.1	-44.4	54.22	305
MMa	48.13	75.28	-8.36	75.74	354
NMa	18.01	0.0	0.0	0.0	0
WMa	95.41	0.0	0.0	0.0	0
RCIE	39.92	58.66	26.98	64.57	25
JCIE	81.26	-2.16	67.76	67.79	92
GCIE	52.23	-42.25	11.76	43.87	164
BCIE	30.57	1.15	-46.84	46.86	271



VG460-7, 3stufige Reihen für konstanten CIELAB Buntton 273/360 = 0.76 (links)

5stufige Reihen für konstanten CIELAB Buntton 273/360 = 0.76 (rechts)

BAM-Prüfvorlage VG46; Farbmetrik-Systeme CNS18 & ORS18input: olv* setrgbcolor
D65: 3 und 5stufige Farbreihen für 10 Bunttöne

output: no change compared to input